

بررسی توسعه‌یافته‌ی ویژگی‌های هیدرودینامیکی سامانه‌های کارستی با استفاده از تجزیه و تحلیل منحنی فروض هیدرولوژی (مورد مطالعه: آبخوان‌های کارستی حوضه رودخانه الوند)

سجاد باقری سیدشکری - دانشجوی دکتری ژئومورفولوژی دانشکده جغرافیا، دانشگاه تهران

مجتبی یمانی* - استاد دانشکده جغرافیا، دانشگاه تهران

منصور جعفری‌بیگلو - دانشیار دانشکده جغرافیا، دانشگاه تهران

حاجی کریمی - دانشیار دانشکده کشاورزی، دانشگاه ایلام

ابراهیم مقیمی - استاد دانشکده جغرافیا، دانشگاه تهران

پذیرش مقاله: ۱۳۹۲/۱۱/۱۳ تأیید نهایی: ۱۷/۰۳/۱۳۹۳

چکیده

حوضه کارستی رودخانه الوند در غرب استان کرمانشاه به‌علت فراهم بودن شرایط مساعد کارست‌زاگی، دارای آبخوان‌های کارستی متعددی است. این آبخوان‌ها نقش حیاتی در استمرار و شکل‌گیری مدنیت در منطقه داشته، منبع اصلی تأمین آب جوامع انسانی است. هدف از این پژوهش ارزیابی و تعیین درجه توسعه کارست آبخوان‌های کارستی حوضه الوند استفاده از طریق تجزیه و تحلیل منحنی فروض هیدرولوژی چشم‌های کارستی است. در این پژوهش، پس از تعیین محدوده آبخوان‌ها، ویژگی‌های ژئومورفولوژی کارست سطحی و زمین‌شناسی آنها بررسی شد و در ادامه منحنی فروض هیدرولوژی پنج چشم‌های ارزیابی و درجه توسعه کارست آبخوان‌ها تعیین شد. نتایج حاکی از آن است که آبخوان‌های ریجاب و ماراب با درجه توسعه کارست ۵/۵، توسعه‌یافته‌ترین آبخوان‌های حوضه‌اند و دارای دو زیررژیم خطی و یک زیررژیم آشفته‌اند. آبخوان‌های گلین، گلودره و سراگرم دارای درجه توسعه کارست ۳/۷ و ۲/۷ هستند و دو زیررژیم خطی دارند. درجه توسعه کارست و ویژگی‌های هیدرودینامیکی آبخوان‌ها تحت تأثیر تفاوت‌های محلی در عوامل مؤثر بر توسعه کارست و ژئومورفولوژی کارست متفاوت است. سه عامل ژئومورفولوژی کارست سطحی، فیزیوگرافی محضه‌های تنزیه‌کننده آبخوان‌ها و ارتفاع، به ترتیب بیشترین اثر را بر ویژگی‌های هیدرودینامیکی و درجه توسعه کارست آبخوان‌های حوضه الوند دارند.

کلیدواژه‌ها: آبخوان کارستی، توسعه کارست، حوضه الوند، ژئومورفولوژی، منحنی فروض هیدرولوژی.

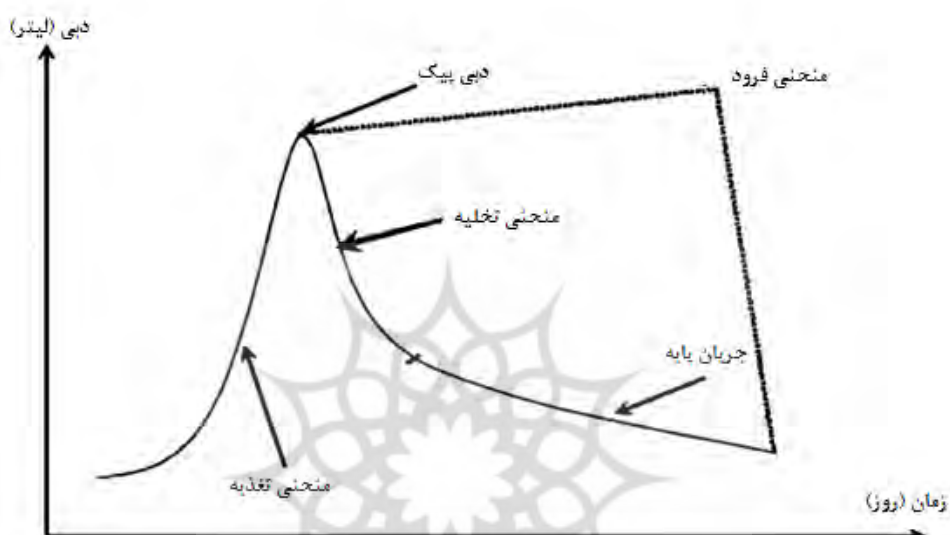
مقدمه

تفاوت در رفتار هیدرودینامیکی آبخوان‌های کارستی و تمایز بین آنها واقعیتی پذیرفته شده است (سیویتا، ۲۰۰۸). پاسخ هیدروشیمیایی و هیدرودینامیکی مشاهده شده در سامانه‌های کارستی به شرایط جریان در آنها بستگی دارد. شرایط

جريان در سامانه کارستی به سلسله مراتب جريان، تنظیم خروجی و سازماندهی شبکه زهکشی در مناطق غیرابعاد وابسته است که به وسیله ساختار سامانه کارستی تعیین می‌شود (لاستنت و مودرای، ۱۹۹۷: ۱۱۴). هیدروگراف چشمه‌ها بازتاب مستقیم همه فرایندهای فیزیکی است که در داخل آبخوان، جريان آب زیرزمینی را تحت تأثیر قرار می‌دهد (کیوتا و همکاران، ۱۹۹۲: ۴۱). شکل منحنی فرود تحت تأثیر عوامل مختلفی از جمله خواص هیدرودینامیکی آبخوان (مور، ۱۹۹۲: ۹۳)، ویژگی‌های ژئومورفولوژیکی حوضه‌ای آبریز (ایسنلور و همکاران، ۱۹۹۷: ۳۰۹)، ماهیت، ضخامت، توزیع فضایی و سطح اشباع خاک (لورپ و همکاران، ۱۹۹۸: ۱۴۹)، اقلیم و فصول سال قرار دارد. تجزیه و تحلیل منحنی فرود هیدروگراف روش مهمی در بررسی‌های هیدرولوژیکی است که برای تفسیر ویژگی آبخوان‌های کارستی استفاده می‌شود (کریشیچ و بوناچی، ۲۰۱۰). بررسی جريان فرود که در آن، قسمت فرود انتهای هیدروگراف منطبق با تخلیه آبخوان است، اطلاعاتی را در زمینه ساختار و عملکرد آبخوان به ویژه شاخص‌های هیدرودینامیکی مانند نفوذپذیری و ذخیره‌سازی به دست می‌دهد (تراخ و همکاران، ۱۹۹۳: ۲۲۸). از مزیت‌های مهم تجزیه و تحلیل منحنی فرود، محاسبه مجموعه‌ای از شاخص‌های کمی متنسب به سازوکارهای زهکشی مانند ضریب‌های فرود، حجم دبی اولیه، مجموع کل جريان سریع و پایه و شناسایی زیررژیم‌هاست (مالیک و وجتكوا، ۲۰۱۲: ۲۲۴۶). شناخت ویژگی‌های جريان پایه و پیش‌بینی آن در طول دوره خشک برای تعیین مقدار ذخیره آبخوان و امکان بهره‌برداری از آن به منظور مصرف‌های مختلف و همچنین برآورد مقدار آسیب‌پذیری آبخوان از آلودگی لازم است (دوندل و همکاران، ۲۰۰۳: ۲۴۹). آبخوان‌های کارستی منبع بالرزش آب در مناطق وسیعی از جهان‌اند که با کاهش کمیت و کیفیت آب آبخوان‌های آبرفتی، اهمیت آنها در جایگاه منبعی راهبردی دوچندان شده است (سیویتنا، ۲۰۰۸: ۸۵۶). آبخوان‌های کارستی حوضه‌الوند تأمین‌کننده آب مصرفی هشتاد هزار خانوارند (کریمی و همکاران، ۲۰۰۵: ۷۷۸) و جريان پایه رودخانه‌الوند و قسمت اعظم آب مورد نیاز بخش‌های کشاورزی و صنعت و يوم‌سازگان‌های طبیعی منطقه نیز به وجود اين آبخوان‌ها وابسته است. با توجه به افزایش تقاضای آب و تأثیر حیاتی آن بر توسعه، گسترش فعالیت‌های انسانی در حوضه‌های تغذیه‌کننده آبخوان‌ها و رخداد نوسان‌های بارشی، شناخت ویژگی‌های هیدرودینامیکی و میزان توسعه‌یافتنی سامانه کارستی آبخوان‌ها برای بهره‌برداری بهینه و حفظ کیفیت و کمیت منابع آب کارست در حوضه‌الوند، برای مدیریت علمی منابع آب نیاز مبرمی است. هدف از این پژوهش، ارزیابی میزان توسعه‌یافتنی و شناخت رفتار هیدرودینامیکی آبخوان‌های کارستی حوضه‌الوند و عوامل مؤثر بر آنها با استفاده از تجزیه و تحلیل منحنی فرود هیدروگراف است. تجزیه و تحلیل منحنی فرود، ابزار اساسی در تحقیقات هیدرولوژیکی بوده، دارای سابقه‌ای بیش از یک سده است (بوسی نسک، ۱۸۷۷؛ مای‌یه، ۱۹۰۵) و در یک سده گذشته، توسعه یافته و محققان مختلف آنها را بازیابی و از آنها استفاده کرده‌اند (هورتون، ۱۹۳۳؛ کوبپ و روراباوق، ۱۹۶۳؛ دروگ، ۱۹۶۷؛ پادیلا و همکاران، ۱۹۹۴؛ گریفیس و کلوزن، ۱۹۹۷؛ کواچ، ۲۰۰۳؛ کریشیچ و بوناچی، ۲۰۱۰، مالیک و وجتكوا، ۲۰۱۲). منحنی فرود هیدروگراف منعکس کننده ویژگی‌های جريان در آبخوان است. جريان آشفته (سریع) توسط سامانه مجرایی رخ می‌دهد و جريان خطی (پایه) را آب نفوذی از ماتریکس و حجم ذخیره دینامیکی تأمین می‌کند (پادیلا و همکاران، ۱۹۹۴: ۲۶۹).

شكل ۱ اجزای یک هیدروگراف را طی رخدادی بارشی نشان می‌دهد. منحنی بالارونده مشخصه مرحله اول جريان است و افزایش دبی در آن به عوامل زیادی از قبیل شدت بارش، پوشش سطوح کارستی، وجود فروچاله‌ها یا سطوح کارستی

فاقد پوشش و نوع شبکه زهکشی وابسته است. قسمت دوم دبی، پیک است که در چشممه‌های مختلف مقدار و مدت آن متفاوت است. قسمت سوم، منحنی فروود است که کاهش تدریجی دبی را توصیف می‌کند و دارای دو بخش است؛ در بخش اول^۱، دبی به سرعت کاهش می‌یابد و در بخش دوم^۲، دبی به کندی کاهش می‌یابد. بخش اول منحنی فروکش نشان‌دهنده تأمین دبی از زون غیراشع آبخوان کارستی است که به طور مستقیم از بارش تأمین می‌شود و از راه مجرای‌ها تخلیه می‌شود. بخش دوم نیز نشان‌دهنده سهم شکاف‌ها و مناطق با نفوذپذیری کمتر است و دبی از منطقه اشع اتابع تأمین می‌شود.



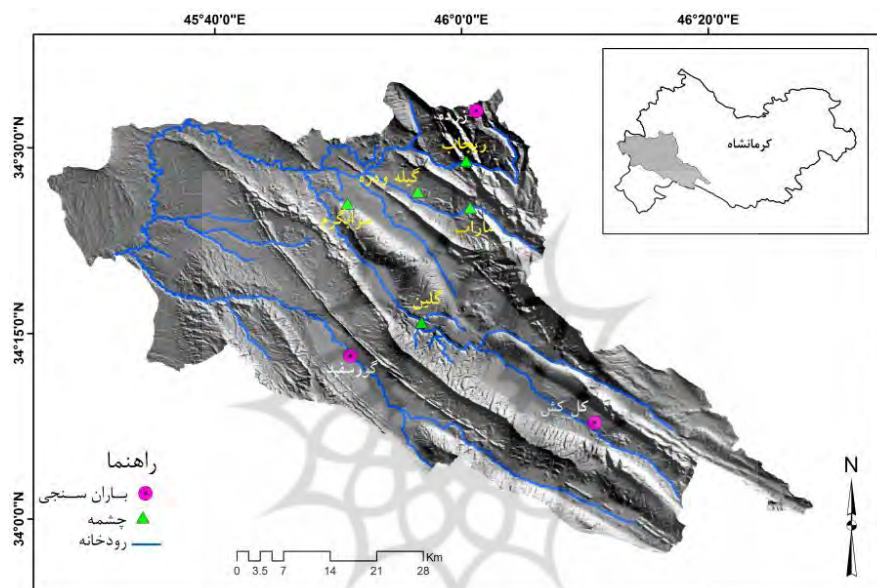
شکل ۱. روند شماتیک از تابع تخلیه یک چشممه در رویدادی بارشی با سه زیربخش مختلف (سیویتا، ۲۰۰۸)

موقعیت منطقه پژوهش

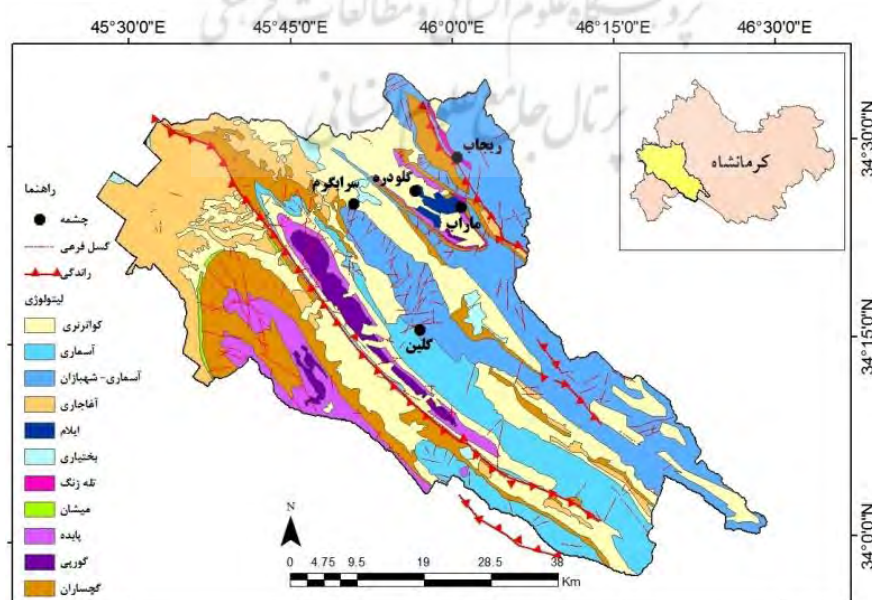
حوضه رودخانه الوند در غرب و جنوب غربی استان کرمانشاه بین عرض‌های جغرافیایی $۴۶^{\circ}۴۵'_{\text{E}}$ و $۳۴^{\circ}۳۳'_{\text{E}}$ و طول‌های جغرافیایی $۳۷^{\circ}۰۷'_{\text{N}}$ واقع شده است. مساحت این حوضه ۲۶۵۶ کیلومترمربع و بیشینه ارتفاع آن ۲۳۵۵ متر در ارتفاعات دلاه و قلاجه و کمینه ارتفاع آن ۲۱۲ متر در خروجی حوضه است (شکل ۲). از نظر ژئومورفولوژی، این حوضه مشتمل بر تاقدیس‌ها و ناویدیس‌های موازی با روند شمال غربی-جنوب شرقی است و آبخوان‌های کارستی، منطبق بر تاقدیس‌های حوضه است. از نظر توپوگرافی، قسمت‌های مرتفع حوضه در شمال و شرق حوضه قرار گرفته و قسمت‌های غربی حوضه دارای ارتفاع کمتر از ۸۰۰ متر است. حوضه الوند در زون چین‌های برگشته زاگرس چین خورده واقع شده است. بیشتر تاقدیس‌های حوضه در رده تاقدیس‌های کشیده قرار گرفته، دارای راندگی در یال جنوبی خود است. گسل‌های اصلی منطقه از نوع برشی بوده، در جهت شمال غرب-جنوب شرقی امتداد یافته است و شیب آنها با زاویه باز به سمت شمال شرقی است (قمی اویلی، ۱۳۷۶: ۷۱).

1. Falling curve
2. Depletion curve

عبارت‌اند از: آبرفت‌های کواترنری، کنگلومرا، بختیاری، سازند آغازاری (مارن و ماسه‌سنگ)، سازند گچساران (گچ و مارن)، سازند آسماری (آهک دولومیتی و دولومیت)، سازند آسماری شهبازان (آهک و دولومیت)، سازند پابده و گورپی (مارن و شیل با بین لایه‌های سنگ آهک مارنی)، سازند ایلام (آهک) (شکل ۳). حدود ۳۸ درصد از مساحت حوضه الوند از سازندهای کربناته آسماری-شهبازان، آسماری و ایلام تشکیل شده است. اقلیم منطقه، مدیترانه‌ای و دارای دو فصل خشک و مرطوب منطبق بر دوره سرد و گرم سال است. دما تحت تأثیر عامل ارتفاع است و دمای سالانه بین ۶ درجه در ارتفاع بیش از ۲۰۰۰ متر تا ۲۱ درجه در ارتفاع کمتر از ۵۰۰ متر در نوسان است. بارش نیز تحت تأثیر عامل ارتفاع، دارای پراکنش یکسانی در حوضه نیست و نواحی شرقی و شمالی حوضه که مرتفع‌تر است، بارش بیشتری دارد (جدول ۱).



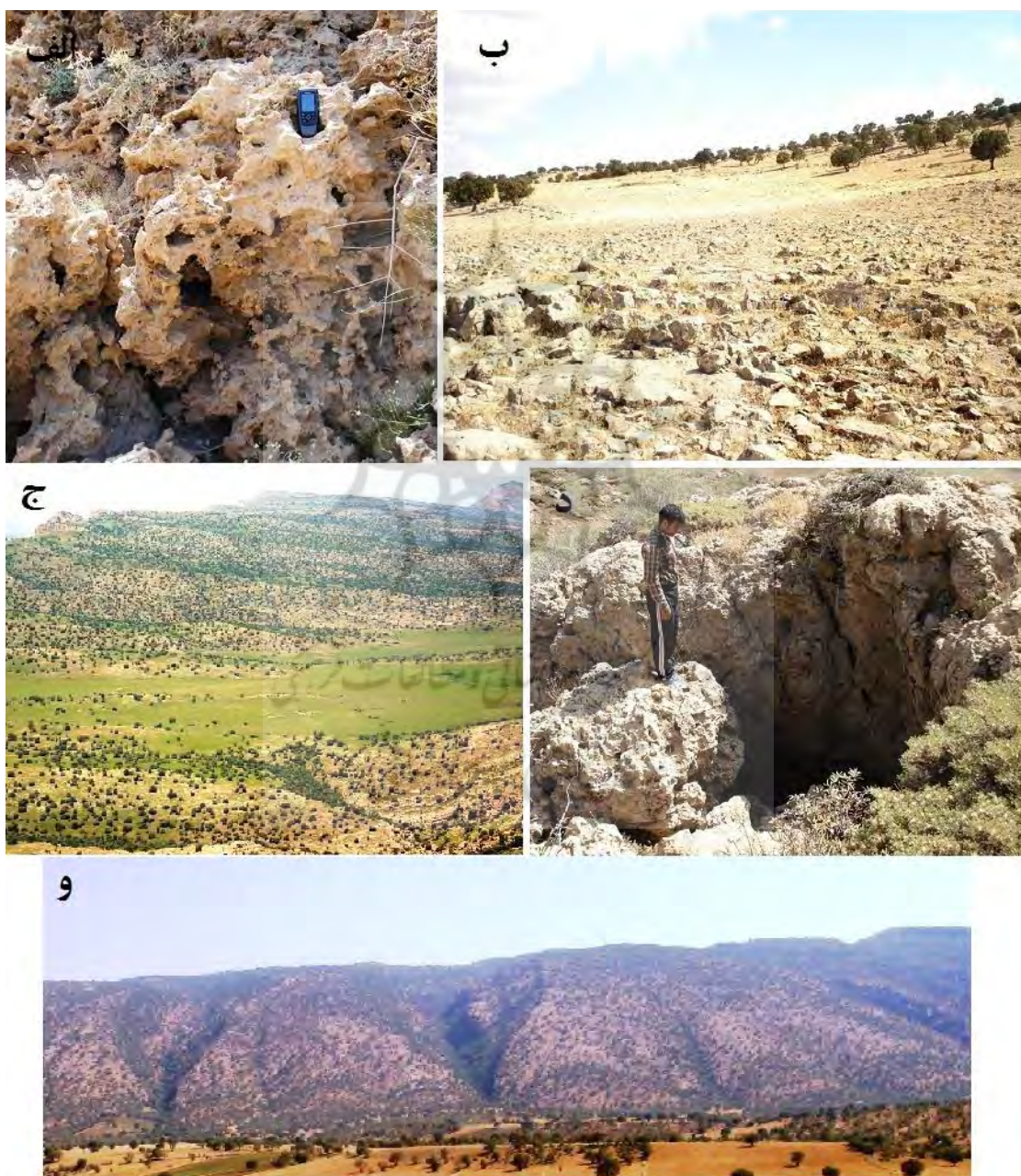
شکل ۲. موقعیت حوضه بررسی شده در غرب استان کرمانشاه



شکل ۳. نقشه زمین‌شناسی حوضه رودخانه الوند

جدول ۱. ویژگی‌های بارش حوضه بررسی شده

ایستگاه	ارتفاع (متر)	دوره آماری	بارش میانگین (میلی‌متر)	بارش بیشینه (میلی‌متر)	بارش کمینه (میلی‌متر)
زرده	۱۱۲۰	۱۳۸۸-۱۳۶۸	۶۱۷	۹۳۰	۳۶۵
گورسفید	۶۵۰	۱۳۸۸-۱۳۶۷	۴۲۶	۶۳۱	۱۸۲
کلکش	۱۱۵۰	۱۳۸۸-۱۳۷۶	۵۱۴	۷۳۱	۲۷۱



شکل ۴. (الف) نمایی از کارن‌های حفره‌ای؛ (ب) سنگفرش کارستی؛ (ج) پلزه؛ (د) جاما؛ (و) دره‌های کارستی

به علت فراهم بودن شرایط کارست‌زایی، لندرم‌های کارستی متنوعی در این حوضه شکل گرفته است؛ اما به دلیل تفاوت در متغیرهای کارست‌زایی از جمله توپوگرافی، تکتونیک، اقلیم، لیتو‌لوژی و شرایط ژئومورفولوژیکی، میزان توسعه کارست در نواحی مختلف حوضه یکسان نیست. کارن‌ها، فراوان‌ترین لندرم کارستی در حوضه‌اند (شکل ۴الف)، غارها نیز از فراوان‌ترین لندرم‌های کارستی بوده که در امتداد سطوح لایده‌بندی یا درزه‌ها در تاقدیس‌های حوضه شکل گرفته‌اند. در رأس تاقدیس‌های قلاچه، نواکوه و دلاهو پهنه‌های کارستی (شکل ۴ب) و پلره‌ها (شکل ۴ج) قابل شناسایی است. براساس بازدیدهای میدانی، سینکهول‌ها (شکل ۴د) در این حوضه تنها در رأس تاقدیس دلاهو و نواکوه شکل گرفته‌اند. دره‌های عمیق و خشک کارستی (شکل ۴و) به صورت دره‌های نزولی بر یال تاقدیس‌های حوضه توسعه یافته، بارزترین لندرم کارستی در حوضه‌اند.

مواد و روش‌ها

این پژوهش مبتنی بر روش‌های کتابخانه‌ای، میدانی و تجزیه و تحلیل منحنی فرود هیدروگراف است و در آن از داده‌های کمی و کیفی ایستگاه‌های هیدرومتری و باران‌سنجی وزارت نیرو (ماهانه) در دوره آماری ۱۳۷۸-۱۳۸۹ استفاده شده است. از روش کریمی (۲۰۰۳) $A=Q/P.I$ برای تعیین مساحت حوضه آبگیر چشممه‌ها استفاده شده است. ضریب تغییرات دبی چشممه‌ها با رابطه $CV=(S/x)^{100}$ محاسبه می‌شود که در آن، S انحراف معیار دبی و x میانگین دبی سالانه است. برای ارزیابی منشأ کارستی بودن و تعیین نوع آب آبخوان‌های این پژوهش، از داده‌های به دست آمده در دوره کم‌آبی استفاده شد (جدول ۴). با توجه به عدم توسعه یکسان کارست و همچنین تفاوت‌های لیتو‌لوژیکی سازنده‌ای کربناته و شرایط ژئومورفولوژی، اقلیمی و توپوگرافی متفاوت در قسمت‌های مختلف حوضه، پنج آبخوان ریجاب، ماراب، گلین، سراب‌گرم و گلودره (شکل ۵) به منظور ارزیابی سطح توسعه کارستی انتخاب شد. از تجزیه و تحلیل منحنی فرود هیدروگراف برای ارزیابی نوع سامانه جریان در آبخوان‌های کارستی استفاده شد. در هر آبخوان کارستی ممکن است چندین زیررژیم خطی و آشفته وجود داشته باشد و هیدروگراف چنین نظامی را می‌توان با انباتیق چندین معادله مربوط توضیح داد. منحنی فرود به صورت نیمه‌لگاریتمی ترسیم می‌شود و دبی بر حسب لیتر بر ثانیه دربرابر زمان بر حسب روز ترسیم می‌شود. منحنی فرود شامل دوره زمانی بین دبی پیک بیشینه تا زمان افزایش مجدد دبی در پایان دوره منحنی فرود است (مالیک و وجتكوا، ۲۰۱۲: ۲۲۴۷). برای محاسبه زیررژیم خطی و آشفته به ترتیب از روابط ۱ و ۲ استفاده می‌شود؛ رابطه ۱ تابع نمایی است که فورکاسویچ و پالوک (۱۹۶۷) برای جریان خطی پیشنهاد کردند و رابطه ۲ تابع خطی است که کولمان (۱۹۸۰) برای جریان آشفته بیان کرد:

$$1. \quad Q_t = Q_0 e^{-\alpha t}, \text{ در این معادله } Q_t \text{ آبدی در زمان } t \text{ (مترمکعب/ثانیه)، } Q_0 \text{ آبدی قبلی در زمان } 0 \text{، } \alpha \text{ پایه لگاریتم طبیعی و } \alpha \text{ ضریب فروکش چشممه است که براساس روش مایلت محاسبه می‌شود.}$$

$$2. \quad Q_t = Q_0(1 - \beta t), \text{ در این معادله } Q_t \text{ آبدی در زمان } t \text{ (مترمکعب/ثانیه)، } Q_0 \text{ آبدی قبلی در زمان } 0 \text{ و } \beta \text{ ضریب فروکش در جریان آشفته است که برابر با شبیه منحنی فروکش است و } t \text{ مدت زمان افت منحنی فروکش است.}$$

برای به کارگیری این روش، به دوره های طولانی آمار دبی نیاز است تا وقایع ناگهانی که موجب اختلال در منحنی فروود در یک سال یا چند سال می شود، شناسایی شود و برآورد واقعی از درجه توسعه یافتنگی آبخوان انجام گیرد. بر این اساس، منحنی فروود ده ساله هر یک از چشممه های محدوده این پژوهش، ترسیم و با برآش یک خط بین آنها منحنی نماینده دوره آماری ده ساله چشممه ها ترسیم شد؛ این منحنی مبنای ترسیم منحنی تاریسمان چشممه هاست. پس از ترسیم منحنی تاریسمان هر چشممه و محاسبه رابطه منحنی فروود آن براساس روش مالیک و وجتكوا (۲۰۱۲) درجه توسعه کارست آبخوان های کارستی محاسبه شد (جدول ۲). درنهایت، نتایج تجزیه و تحلیل منحنی فروود هیدرودنامیکی این آبخوان ها قرار دادن ویژگی های لیتوژیکی و ژئومورفولوژی کارست آبخوان ها ارزیابی و ویژگی های هیدرودینامیکی این آبخوان ها تحلیل شد.

جدول ۲. درجه توسعه کارست آبخوان ها براساس محاسبه معادله منحنی فروود (مالیک و وجتكوا، ۲۰۱۲)

مشخصه های درجه کارستی شدن	مشخصه های مؤلفه های منحنی فروود	مشخصه های رابطه منحنی فروود	نوع زیررژیم های جریان آب زیرزمینی	درجه توسعه کارست
مناطق خردشده گسلی با و گردش عمقی آب	$_{1<0.001}$ $_{1=0.001-0.0025}$	$Q_t = Q_1 e^{-\alpha t}$	یک زیررژیم با مقادیر کم	۰/۵
مناطق تکتونیزه گسلی با نفوذپذیری زیاد	$_{1>0.007}$ $_{1=0.0025-0.007}$	$Q_t = Q_1 e^{-\alpha t}$	یک زیررژیم با مقادیر زیاد	۲ ۲/۳
آبخوان های با غلبه درزه و شکاف های کوچک	$_{1<0.0024}$ $_{2<0.033}$ $_{1=0.0024-0.0045}$ $_{2=0.033-0.067}$		دارای دو یا چند زیررژیم خطی با مقادیر کم	۲/۵ ۲/۷ ۳
توسعه نامنظم آبخوان، غلبه شکاف های بزرگ و وجود مجراهای کوچک	$_{1=0.0024-0.0043}$ $_{2=0.06-0.16}$ $_{1>0.0043}$ $_{2<0.06}$ $_{1=0.0041-0.018}$ $_{1=0.055-0.016}$	$Q_t = Q_1 e^{-\alpha 1t} + Q_2 e^{-\alpha 2t}$	دارای دو یا چند زیررژیم خطی با مقادیر زیاد	۳/۵ ۳/۷ ۴
آبخوان تکتونیزه (گسل) شبکه متراکم درزه ها و وجود مجراهای کوچک	$_{1>0.018}$ $_{1>0.16}$ $_{1>0.041}$ $_{1=0.055-0.016}$		دارای زیررژیم های آشفته و خطی که غلبه با جریان خطی است.	۴/۳ ۴/۷ ۵
درزه و شکاف های بسیار متراکم با بازشدگی زیاد و وجود مجراهای بزرگ	$_{1>0}$ $_{2>0}$ $_{1>0}$	$Q_t = Q_1 e^{-\alpha 1t} + Q_2 e^{-\alpha 2t} + Q_{04} + (1- \alpha t)$	دارای یک زیررژیم آشفته و دو زیررژیم خطی	/

ادامه جدول ۲. درجه توسعه کارست آبخوان‌ها براساس محاسبه معادله منحنی فرود (مالیک و وجتکوا، ۲۰۱۲)

مشخصه‌های درجه کارستی شدن فرود	مشخصه‌های منحنی فرود	مشخصه‌های رابطه منحنی فرود	نوع زیررژیم‌های جریان آب زیرزمینی	درجه توسعه کارست
درزه و شکاف‌های بسیار متراکم با بازشدگی زیاد و وجود مجراهای بزرگ	با مقادیر بالا	$Q_t = Q_1 e^{-\alpha_1 t} + Q_2 e^{-\alpha_2 t} + Q_{04} + (1 - \alpha_1 t) + Q_{05} + (1 - \alpha_2 t)$	دارای دو زیررژیم آشفته و دو زیررژیم خطی و غلبه زیررژیم‌های خطی در تخلیه	
آبخوان توسعه یافته، وجود درزه و شکاف‌های بسیار بزرگ ناشی از تکتونیزه شدن و مجراهای بزرگ	با مقادیر زیاد	$Q_t = Q_1 e^{-\alpha_1 t} + Q_{04} + (1 - \alpha_1 t) + Q_{05} + (1 - \alpha_2 t) + Q_{06} + (1 - \alpha_3 t)$	یک زیررژیم خطی و دو با سه زیررژیم آشفته، رژیم خطی کارکرد اصلی را در تخلیه دارد.	
آبخوان با توسعه زیاد کارستی، وجود مجراهای بزرگ و کاهش اثر درزه و شکاف‌ها بر تخلیه	با مقادیر زیاد	$Q_t = Q_1 e^{-\alpha_1 t} + Q_{04} + (1 - \alpha_1 t) + Q_{05} + (1 - \alpha_2 t) + Q_{06} + (1 - \alpha_3 t)$	یک زیررژیم خطی و دو با سه زیررژیم آشفته، رژیم آشفته عامل اصلی تخلیه است.	
آبخوان کارستی با سامانه محرای به خوبی توسعه یافته	با مقادیر زیاد	$Q_t = Q_{04} (1 - \alpha_1 t)$	وجود یک جریان آشفته و تخلیه وابسته به منطقه وادوز است.	$2 > 1 > 0$
آبخوان کارستی با سامانه محرای به خوبی توسعه یافته و ارتباط کم با منطقه فراتریک	با مقادیر کم	$Q_t = Q_{04} + (1 - \alpha_1 t) + Q_{05} + (1 - \alpha_2 t)$	دارای دو زیررژیم آشفته	$1 > 2 > 0$
آبخوان کارستی با سامانه محرای به خوبی توسعه یافته و تخلیه از منطقه وادوز	با مقادیر زیاد	$Q_t = Q_{04} + (1 - \alpha_1 t) + Q_{05} + (1 - \alpha_2 t) + Q_{06} + (1 - \alpha_3 t)$	دارای سه زیررژیم آشفته متفاوت	$1 > 2 > 3$

یافته‌های پژوهش

ویژگی‌های ژئومورفولوژیکی و هیدرولوژیکی آبخوان‌ها

نوع تغذیه آبخوان‌های محدوده این پژوهش، به علت عدم رخمنون سازنده‌ای دیگر در سطح تاقدیس‌ها و جاری نشدن آب از سطح سازنده‌ای غیرکارستی از نوع خودزا¹ است. در آبخوان‌های گلین، سراب‌گرم و گلودره تغذیه به صورت منتشر (افشان) و از راه کارن‌ها، درزه‌ها و شکاف‌ها انجام می‌گیرد. دره‌ها و پهنه‌های کارستی نیز کارکرد مهمی در تغذیه این آبخوان‌ها دارد. در آبخوان‌های ریجاب و ماراب، تغذیه به دو صورت منتشر از راه کارن‌ها، درزه‌ها و شکاف‌ها و متمرکز از

1. Autogenic

راه سینکهول‌ها انجام می‌گیرد. پلزه‌های رأس تاقدیس نواکوه و دلاهو با داشتن فروچاله، به صورت متمرکز این دو آبخوان را تغذیه می‌کند و تغذیه متنشر در دره‌های خشک و در کارن فیلدها صورت می‌گیرد. حوضه آبگیر چشمه‌های ماراب، ریجاب و سراب‌گرم از سازند آسماری-شهبان و حوضه آبگیر چشمه‌های گلین و گلودره به ترتیب از سازندهای آسماری و ایلام پوشیده شده است. مساحت حوضه آبگیر چشمه‌های محدوده این پژوهش، براساس داده‌های اقلیمی و هیدرولوژیکی دوره آماری ۱۳۸۹-۱۳۷۸ برآورد شد (جدول ۳) و این امر نشان‌دهنده تأثیر مستقیم مساحت حوضه آبگیر بر مقدار دبی است. چشمه‌های ریجاب و گلودره به ترتیب بیشترین و کمترین دبی را دارد و بررسی ضریب تغییرات دبی چشمه‌ها نشان می‌دهد که چشمۀ ریجاب بیشترین و چشمۀ گلودره کمترین ضریب تغییرات را دارد. همه چشمه‌های محدوده این پژوهش دارای آب بی‌کربناته است و از منظر کاتیونی، کاتیون غالباً کلسیم و پس از آن منیزیم است. همه چشمه‌ها رخساره کلسیک و منیزیک دارد. از منظر آنیونی، یون بی‌کربنات در همه چشمه‌ها غالب است و توالی آنیونی ریجاب، ماراب و گلین $\text{HCO}_3 > \text{SO}_4 > \text{Cl}$ گلودره و سراب‌گرم $\text{HCO}_3 > \text{Cl} > \text{SO}_4$ است (جدول ۴). هدایت الکتریکی چشمه‌های کارستی به طور معمول کمتر از ۵۰۰ میکروزیمنس بر سانتیمتر است. چشمۀ گلودره و ماراب به ترتیب بیشترین و کمترین مقدار هدایت الکتریکی را دارد. نوع آب، رخساره کاتیونی، توالی آنیونی و مقدار هدایت الکتریکی چشمه‌های محدوده این پژوهش، معرف کارستی بودن آنهاست. نسبت مولار منیزیم به کلسیم نشان‌دهنده ماندگاری بیشتر آب در آبخوان و معرف جنس سازند تغذیه‌کننده چشمه است. این نسبت در چشمه‌های بررسی شده، بین ۱/۱۷ تا ۱/۵۲ است و این افزایش غلظت منیزیم و کاهش نسبت منیزیم به کلسیم حاکی از ماندگاری زیاد آب در آبخوان‌هاست و نشان‌دهنده سنگ آهک دولومیتی در منطقه تغذیه چشمه‌هاست.

جدول ۳. ویژگی‌های هیدرولوژیکی و توبوگرافیکی چشمه‌های محدوده این پژوهش

چشمه	مساحت حوضه آبگیر (km ²)	دبی میانگین (l/s)	دبی بیشینه (l/s)	دبی کمینه (l/s)	ضریب تغییرات	میانگین ارتفاع (m)
ریجاب	۱۹۸	۲۱۵۰	۴۷۴۰	۸۱۸	%۳۷/۹	۱۸۷۶
سراب‌گرم	۱۷۰	۱۶۲۵	۲۴۵۸	۶۱۵	%۱۷	۱۱۹۱
گلین	۶۴	۴۶۲	۸۹۱	۲۳۷	%۲۶/۱	۱۵۲۶
گلودره	۱۸	۱۷۸	۲۹۹	۵۰	%۱۳/۷	۱۱۴۳
ماراب	۴۰	۵۶۱	۱۷۸۷	۲۴۷	%۳۴	۱۸۹۴

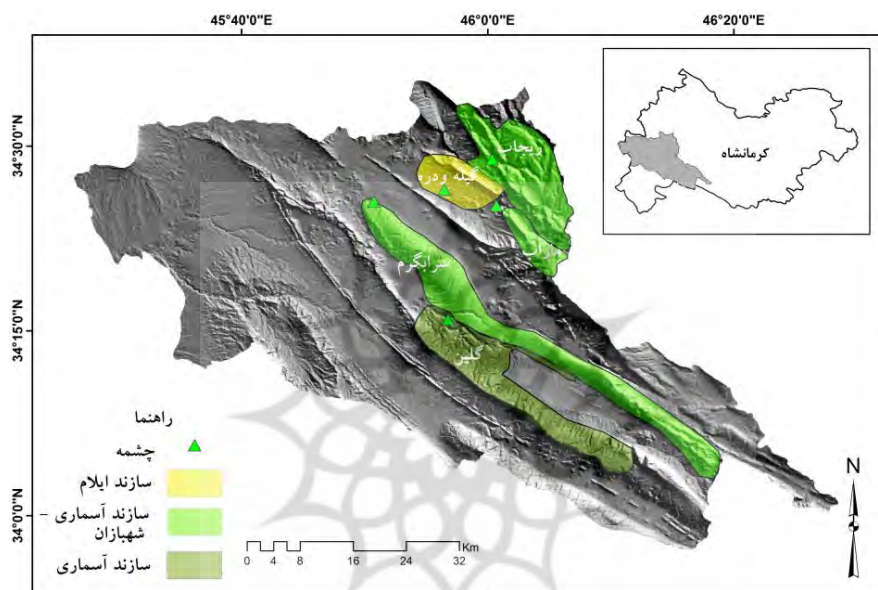
جدول ۴. ویژگی‌های هیدروشیمیابی چشم‌های محدوده این پژوهش

هدايت الکتریکی کلسیم	منیزیم/ کلسیم	توالی آئیونی	رخساره کاتیونی	نوع آب	تاریخ نمونه‌برداری	چشم
	/	$\text{HCO}_3 > \text{SO}_4 > \text{Cl}$	کلسیک منیزیک	$\text{Ca}^{\circ} \text{Mg}^{\circ}$ HCO_3	۸۴/۸/۲۲	ریجاب
	/	$\text{HCO}_3 > \text{Cl} > \text{SO}_4$	کلسیک منیزیک	$\text{Ca}^{\circ} \text{Mg}^{\circ}$ HCO_3	۸۹/۸/۲	سراب‌گرم
۴۱۷	۱/۱۷	$\text{HCO}_3 > \text{SO}_4 > \text{Cl}$	کلسیک منیزیک	$\text{Ca}^{\circ} \text{Mg}^{\circ}$ HCO_3	۹۰/۸/۲	گلین
۵۰۱	۱/۵۲	$\text{HCO}_3 > \text{Cl} > \text{SO}_4$	کلسیک منیزیک	$\text{Ca}^{\circ} \text{Mg}^{\circ}$ HCO_3	۸۹/۸/۲	گلودره
۳۹۷	۱/۵۱	$\text{HCO}_3 > \text{SO}_4 > \text{Cl}$	کلسیک منیزیک	$\text{Ca}^{\circ} \text{Mg}^{\circ}$ HCO_3	۸۹/۸/۲	ماراب

تجزیه و تحلیل منحنی فرود هیدروگراف

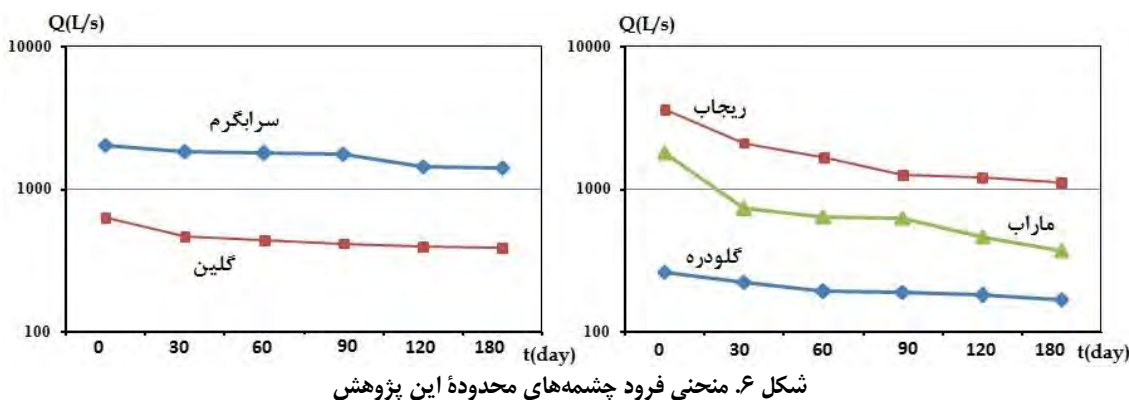
ارزیابی منحنی فرود چشم ریجاب (شکل عالی) وجود دو زیرزیم خطی و یک زیرزیم آشفته را نشان می‌دهد و رابطه منحنی فرود آن $(Q_t = 2e^{-0.007t} + 1/25e^{-0.004t} + 1/0.29e^{-0.008t})$ است. براساس جدول ۳، درجه توسعه شبکه کارست درونی آبخوان ریجاب، ۵/۵ است و در آن، مقادیر و بزرگتر از صفر است. در این آبخوان، جریان خطی (پایه) غلبه دارد؛ اما قسمتی از آب خروجی چشم را جریان آشفته (سریع) در مدت‌زمان کوتاهی نسبت به جریان خطی تخلیه می‌کند. از مشخصات این گونه آبخوان‌ها، فراوانی درزهای و شکاف‌ها با توسعه و بازشدن زیاد و همچنین وجود مجرای کارستی است. جریان سریع در آبخوان ریجاب را عمدتاً تغذیه مرکز از راه فروچاله‌ها، درزهای و شکاف‌های بزرگ تأمین می‌کند و مجرای موجود در آبخوان، آن را تخلیه می‌کند. درواقع، توسعه ژئومورفولوژی سطحی کارست در آبخوان ریجاب و وجود فروچاله‌ها عامل اصلی درجه توسعه کارست و رفتار هیدرودینامیکی این آبخوان است. چشم سراب‌گرم براساس رابطه منحنی فرود $(Q_t = 2e^{-0.007t} + 1/25e^{-0.004t} + 1/0.29e^{-0.008t})$ دارای دو زیرزیم خطی با مقادیر متفاوت از دبی و مقادیر کم ضریب است (شکل ۶) و بر این اساس، دارای درجه توسعه کارست ۲/۷ است. در این آبخوان، شبکه درزهای و شکاف‌ها متراکم و منظم است؛ اما از نظر بازشدگی، توسعه زیادی نیافته است؛ بنابراین تغذیه منتشر، در امتداد درزهای رخ داده و این امر سبب غلبه جریان پایه در آبخوان سراب‌گرم شده است. بررسی نقشه زمین‌شناسی حوضه آبگیر چشم ریجاب حاکی از تکتونیزه بودن آن است. با توجه به شرایط مساعد خاکزایی، برخی از درزهای و شکاف‌ها را خاک پر کرده و این امر مقدار نفوذپذیری را در امتداد آنها کاهش داده است. همچنین، بهعلت عدم توسعه ژئومورفولوژی کارست سطحی و کشیده بودن حوضه آبگیر چشم ریجاب (شکل ۵) آب‌های نفوذی به آبخوان، به تدریج تخلیه شده و این امر به کاهش دبی پیک منجر شده است. چشم گلین دارای دو زیرزیم خطی است و رابطه منحنی فرود آن $(Q_t = 0.46e^{-0.007t} + 0.62e^{-0.004t})$ است (شکل ۴) که حاکی از درجه توسعه کارست ۳/۷ و مقادیر متفاوت ضریب و

آبدھی چشمھ است و در آن، غلبه با جریان خطی (پایه) است. این نوع آبخوان‌ها دارای شبکه درزه‌ها و شکاف‌های متراکم با توسعه نامنظم است و بیشتر درزه‌ها بازشدگی دارد و همچنین، مجراهای کوچک در این نوع آبخوان‌ها وجود دارد. حوضه آبگیر چشمھ گلین در ارتفاعات قلاچه واقع شده و ژئومورفولوژی کارست سطحی آن به صورت کارن‌های توسعه یافته و همچنین پلزه‌های کارستی است و این امر سبب توسعه یافته‌تر بودن سامانه کارستی این آبخوان نسبت به آبخوان سراب گرم شده است. چشمھ گلین نیز دارای حوضه تغذیه‌ای به نسبت کشیده‌ای است (شکل ۵) که بر کاهش مقادیر ضریب و کاهش دبی پیک مؤثر است.



شکل ۵. نقشه حوضه تغذیه کننده آبخوان‌های بررسی شده

رابطه منحنی فرود چشمھ گلودره به صورت $R_t = 0.263e^{-0.004t} + 0.175e^{-0.007t}$ است. تجزیه و تحلیل منحنی فرود چشمھ گلودره (شکل ۶) نشان داد که این چشمھ دارای دو زیررژیم خطی با مقادیر متفاوت ضریب است و درجه توسعه کارست آن $3/7$ است. در آبخوان گلودره، غلبه با جریان پایه است و تغذیه آن به صورت منتشر و از راه درزه‌ها و شکاف‌های نامنظم و توسعه یافته است. همچنین، مجراهای کوچک به صورت محدود در این آبخوان وجود دارد. ارزیابی منحنی فرود (شکل ۶) و رابطه آن $(R_t = 0.371e^{-0.004t} + 0.620e^{-0.008t} + 0.285e^{-0.002t})$ در چشمھ ماراب نشان‌دهنده وجود دو زیررژیم خطی و یک زیررژیم آشفته است و درجه توسعه کارست آن $5/5$ است. در آبخوان ماراب، غلبه با جریان خطی (پایه) است؛ اما جریان آشفته (سریع) نیز در آبخوان وجود دارد. تغذیه آبخوان از راه درزه‌ها و شکاف‌های بسیار بزرگ و فروچاله‌ها موجب جریان سریع می‌شود و آن را مجراهای تخلیه می‌کند. بیشتر تغذیه جریان پایه را درزه‌ها و شکاف‌های کوچک‌تر و ماتریکس صورت می‌دهد. ژئومورفولوژی توسعه یافته کارست سطحی و وجود فروچاله‌ها جایگاه مهمی در ویژگی‌های هیدرودینامیکی آبخوان ماراب دارد.



شکل ۶. منحنی فرود چشممه‌های محدوده این پژوهش

نتیجه‌گیری

ارزیابی نوع آب، توالی آنیونی، مقدار هدایت الکتریکی و نسبت منیزیم به کلسیم، تأییدکننده منشأ کارستی آبخوان‌های محدوده این پژوهش است. تفاوت‌های محلی در عوامل مؤثر بر توسعه کارست همچون لیتولوژی، زمین‌ساخت، اقلیم، ارتفاع، شیب و همچنین ویژگی‌های فیزیوگرافی حوضه‌های تغذیه‌کننده آبخوان‌های کارستی در حوضه الوند موجب تفاوت در درجه توسعه کارست و رفتار هیدرودینامیکی آبخوان‌های این حوضه شده است. آبخوان‌های ماراب و ریجاب دارای درجه توسعه کارستی $5/5$ و دو زیررژیم خطی و یک زیررژیم آشفته است. آبخوان‌های گلین و گلودره دارای دو زیررژیم خطی با مقادیر زیاد ضریب و درجه توسعه کارستی $3/7$ و آبخوان سراب‌گرام دارای دو زیررژیم با مقادیر کم ضریب و درجه توسعه کارست $2/7$ است. بررسی مقادیر درجه توسعه کارستی، مقادیر ضریب و همچنین تعداد و نوع زیررژیم‌ها حکایت از توسعه ناهمگون آبخوان‌های کارستی در حوضه الوند دارد. ضریب تغییرات دبی چشممه‌های محدوده این پژوهش نشان‌دهنده توسعه‌یافته‌تر بودن آبخوان‌های ماراب و ریجاب است. رخمنون سازندهای کربناته و تکتونیزه بودن منطقه، عامل اصلی شکل‌گیری ژئومورفولوژی کارست و توسعه فرایند کارست‌زایی در ارتفاعات حوضه رودخانه الوند است. اما عوامل ثانویه همچون ارتفاع، اقلیم و توپوگرافی، سطح توسعه‌یافته‌گی سامانه‌های کارستی حوضه الوند را تحت تأثیر قرار داده است. عدم توسعه‌یافته‌گی یکسان ژئومورفولوژی کارست سطحی بر اثر عواملی که بیان شد، موجب شد که با وجود تشابه لیتولوژیکی و زمین‌ساختی در حوضه تغذیه‌کننده آبخوان‌ها رفتار هیدرودینامیکی آنها متفاوت باشد. بررسی تأثیر لیتولوژی بر درجه توسعه کارستی و رفتار هیدرودینامیکی چشممه‌ها نتیجه مشخصی به دست نمی‌دهد؛ زیرا آبخوان‌های ماراب و ریجاب به مثابه توسعه‌یافته‌ترین آبخوان‌ها و آبخوان سراب‌گرام به مثابه آبخوانی با کمترین میزان توسعه‌یافته‌گی، از سازند آسماری شهبازان تغذیه می‌کند. حوضه تغذیه‌کننده آبخوان سراب‌گرام در تاقدیس دنوشک واقع شده که بیشینه ارتفاع آن ۱۲۰۰ متر است و این امر به کاهش بارش، افزایش دما و درنتیجه کند شدن فرایند کارست‌زایی منجر شده است. اما حوضه‌های تغذیه‌کننده چشممه‌های ریجاب و ماراب در کوهستان‌های مرتفع دلاهه و نواکوه واقع شده و این امر سبب مساعد شدن شرایط اقلیمی برای توسعه فرایند کارست‌زایی شده است. ژئومورفولوژی کارست سطحی عامل اصلی مقدار و چگونگی تغذیه آبخوان‌های است؛ بنابراین هرچه تغذیه بیشتر باشد، میزان توسعه کارست شبکه درونی آبخوان به علت اتحلال بیشتر آب ورودی در طول زمان بیشتر می‌شود. مطابقت ژئومورفولوژی سطحی کارست با درجه توسعه کارستی آبخوان‌ها در زمان حال نیز این امر را تأیید می‌کند؛ به طوری که آبخوان‌های ریجاب و ماراب دارای

ژئومورفولوژی سطحی توسعه یافته‌تری است و درجه توسعه کارست آنها نیز بیشتر است. از سوی دیگر، فیزیوگرافی حوضه‌های تغذیه‌کننده آبخوان‌ها نیز تأثیر بسزایی بر ویژگی‌های هیدرودینامیکی آبخوان‌ها و تعداد و نوع زیررژیم‌ها دارد. از نظر شکل حوضه، آبخوان‌های ماراب و ریچاب کشیدگی کمتری نسبت به آبخوان‌های سراب‌گرم و گلین دارد؛ کشیدگی کمتر حوضه تغذیه‌کننده موجب کاهش زمان تمرکز، تخلیه آب نفوذی در آبخوان به صورت پالس فشاری با دبی زیاد از آن و شکل‌گیری زیررژیم‌های آشفته می‌شود. به علت طولانی بودن زمان تمرکز در آبخوان‌های کشیده، آب نفوذی در مدت زمان طولانی و با دبی یکنواخت‌تری تخلیه می‌شود و زیررژیم‌های خطی را شکل می‌دهد. از دیگر عوامل تأثیرگذار بر رفتار هیدرودینامیکی آبخوان‌های حوضه الوند، ارتفاع است که با تغییر داده‌های حرارتی و رطوبتی سبب افزایش بارش و کاهش تبخیر در ارتفاعات بالاتر می‌شود و این امر سبب تغذیه بیشتر آبخوان‌ها و افزایش حجم آب ورودی به آنها می‌شود که خود بر زیررژیم آبخوان‌ها مؤثر است. از سویی دیگر، کاهش دما و افزایش بارش، شرایط مساعدی را برای توسعه کارست سطحی و درونی فراهم می‌کند. درنهایت، می‌توان گفت که به ترتیب سه عامل ژئومورفولوژی کارست سطحی، فیزیوگرافی حوضه‌های تغذیه‌کننده و ارتفاع (افزایش بارش و کاهش دما) مهم‌ترین تأثیر را بر ویژگی‌های هیدرودینامیکی و درجه توسعه کارست آبخوان‌های حوضه الوند دارد.

منابع

- قمی اویلی، ج. (۱۳۷۶). «مطالعه لیتواستراتیگرافی و بررسی کارستی شدن رخنمون‌های کربناته منطقه نوا-قلاجه در غرب استان کرمانشاه». پایان‌نامه کارشناسی ارشد. تهران: دانشگاه تهران.
- Boussinesq, M.J. (1877). "Essai sur la theories des eaux courantes". Memoires presentes par divers savants à l'Academie des Sciences de l'Institut National de France. Tome XXIII.
- Civita, M.V. (2008). "An improved method for delineating source protection zones for karst springs based on analysis of recession curve data". Hydrogeology Journal. 16 (5). Pp. 855-869.
- Cooper, H. and Rorabaugh, M.I. (1963). "Groundwater movements and bank storage due to flood stages in surface streams". USGS Water Supply Pap (1536-J). Pp. 343° 366.
- Dewandel, B., Lachassagne, P., Bakalowicz, M., Weng, P., and Al-Malki, A. (2003). "Evaluation of aquifer thickness by analysing recession hydrographs. Application to the Oman ophiolite hard-rock aquifer". Journal of Hydrology, 274(1). Pp. 248-269.
- Drogue, C. (1967). "Essai de détermination des composantes de l'ensoleillement des sources karstiques". Evaluation de la capacité de rétention par chenaux et fissures. Bureau de Recherches Géologiques et Minières. Chronique d'Hydrologie (10). Paris.
- Forkasiewicz, J. and Paloc, H. (1967). "Le régime de tarissement de la Foux de la Vis". Chronique d'Hydrologie 10. Pp. 59° 73.
- Griffiths, G.A. and Clausen, B. (1997). "Streamflow recession in basins with multiple water storages". J Hydrol. 190. Pp. 60° 74.
- Horton, R.E. (1933). "The role of infiltration in the hydrological cycle". Trans Am Geophys Union. 14. Pp. 446° 460.
- Karimi, H. (2003). "Hydrogeological behavior of Alvand karst aquifers, Kermanshah". PhD Thesis,. Shiraz: University of Shiraz. (in English).
- Karimi, H., Raeisi, E. and Bakalowicz, M. (2005). "Characterising the main karst aquifers of the Alvand basin, northwest of Zagros, Iran, by a hydrogeochemical approach". Hydrogeology Journal. 13 (5-6). Pp. 787-799.
- Kovács, A. (2003). "Geometry and hydraulic parameters of karst aquifers - a hydrodynamic modelling approach". PhD Thesis. La Faculté des sciences de l'Université de Neuchâtel, Suisse, 131 p.

- Kresic, N. and Bonacci, (2010). "Spring discharge hydrograph. In Groundwater Hydrology of Springs: Engineering, Theory, Management, and Sustainability". Elsevier ch 4. Pp. 129° 163.
- Kuhta, M., Brki , and Stroj, A. (2012). "Hydrodynamic characteristics of Mt. Biokovo foothill springs in Croatia". Geologia Croatica. 65 (1). Pp. 41-52.
- Kullman, E. (1980). "L évaluation du régime des eaux souterraines dans les roches carbonatées du Massif des Carpates Occidentales par les courbes de tarissement des sources". Geologicky stav Dionyza Štrára, Bratislava. Západné Karpaty. se říká hydrogeologia a inz ieská geologia 3. Pp. 7° 6.
- Lastennet, R. and Mudry, J. (1997). "Role of karstification and rainfall in the behavior of a heterogeneous karst system". Environmental Geology. 32 (2). Pp. 114-123.
- Lørup, J.K., Refsgaard, J.C. and Mazvimavi, D. (1998). "Assessing the effect of land use change on catchment runoff by combined use of statistical tests and hydrological modelling: case studies from Zimbabwe". Journal of Hydrology. 205 (3). Pp. 147-163.
- Maillet, E. (1905). *Essais d'Hydraulique Souterraine et Fluviale*. Paris: Hermann.
- Malík, P. and Vojtková, S. (2012). "Use of recession-curve analysis for estimation of karstification degree and its application in assessing overflow/underflow conditions in closely spaced karstic springs". Environmental Earth Sciences. 65 (8). Pp. 2245-2257.
- Moore, G.K. (1992) "Hydrograph analysis in a fractured rock terrane". Groundwater. 30 (3). Pp. 390-395.
- Padilla, A., Pulido Bosch, A. and Mangin, A. (1994). "Relative importance of baseflow and quickflow from hydrographs of karst spring". Ground Water 32. Pp. 267° 277.
- Troch, P.A., De Troch, F.P. and Brutsaert, W. (1993). "Effective water table depth to describe initial conditions prior to storm rainfall in humid regions". Water resources research. 29 (2). Pp. 427-434.

پژوهشگاه علوم انسانی و مطالعات فرهنگی
پرستال جامع علوم انسانی